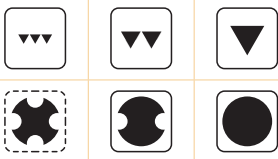
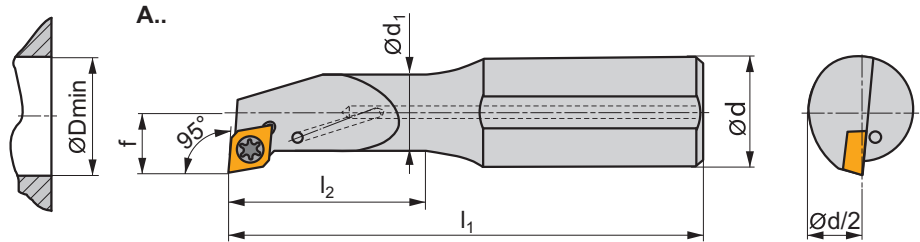
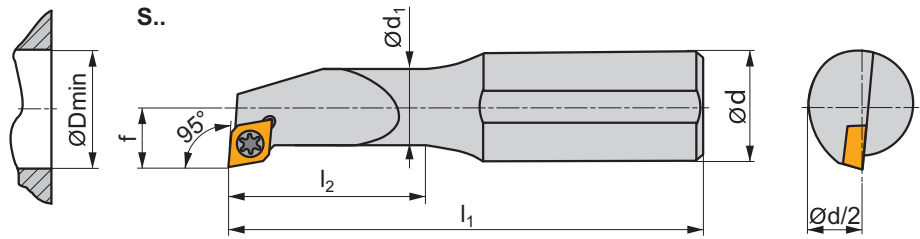
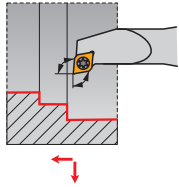


SELP(RL) INT

P M K N S H

S



ISO	d	D _{min}	d ₁	f	l ₁	l ₂	λ _s °	γ°				
S0608H-SELPR/L 05	8	8	6	4,5	100	20,0	-10	0		0,04	G1212	SE21
S0810J-SELPR/L 05	10	11	8	6	110	26,0	-5	0		0,07	G1212	SE22
S1012K-SELPR/L 05	12	13	10	7	125	32,0	-5	0		0,11	G1212	SE22
A1216M-SELPR 05	16	16	12	9	150	40,0	-2	0	✓	0,18	G1212	SE22
S1216M-SELPR/L 05	16	16	12	9	150	40,0	-2	0		0,21	G1212	SE22



G1212



EP. 0502..



SE21



28992



0,8



M2,2



4,2



MA2-8304

SE22

28588

0,8

M2,2

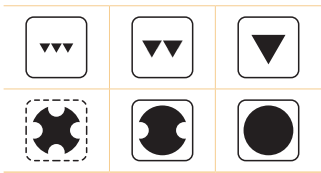
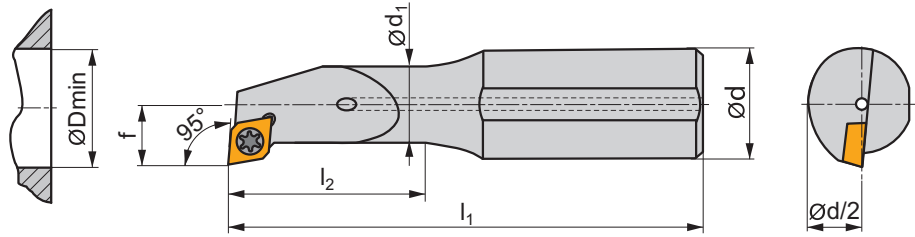
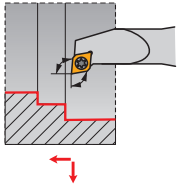
5,6

MA2-8304

SELP(RL)-E INT

P M K N S H

S



ISO	d	D _{min}	d ₁	f	l ₁	l ₂	λ _s °	γ°				
E0608H-SELPRL/L 05	8	8	6	4,5	100	28,0	-10	0	✓	0,06	GI212	SE22
E0810J-SELPRL/L 05	10	11	8	6	110	36,0	-5	0	✓	0,10	GI212	SE22
E1012K-SELPRL 05	12	13	10	7	125	44,0	-5	0	✓	0,18	GI212	SE22
E1216M-SELPRL 05	16	16	12	9	150	55,0	-2	0	✓	0,33	GI212	SE22

GI212	EP.. 0502..

SE22	28588	0,8	M2,2	5,6	MA2-8304